



F.A. 180. Vista parcial de -
las pizarras ampelíticas vi-
nosas con intercalaciones de
cuarcitas (S_{1-2}^{A-B}).

F.A. 181. Detalle de las
pizarras ampelíticas vi-
nosas (S_{1-2}^{A-B}).





F.A. 182. Detalle de las brechas y lutitas del Permico (P_{12}).



F.A. 183. Vista parcial del contacto discordante en el Pérmico (2) y el Silúrico (1).



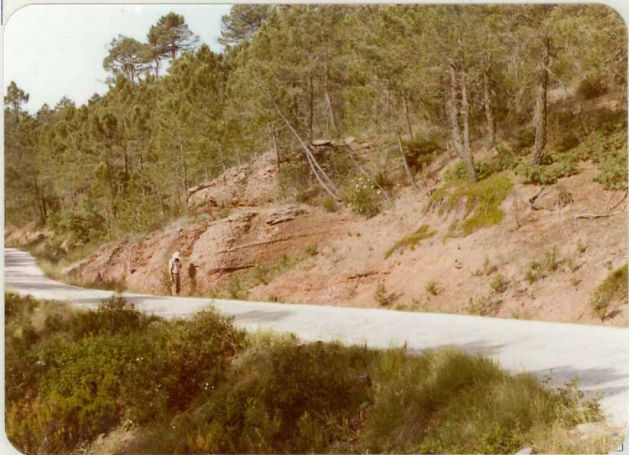
F.A. 184. Cantos sueltos donde se observan las huellas - de presión interclasto en la formación T_{G1} .

F.A. 185. Detalle de un paquete conglomerático de -
la formación T_{G1}.





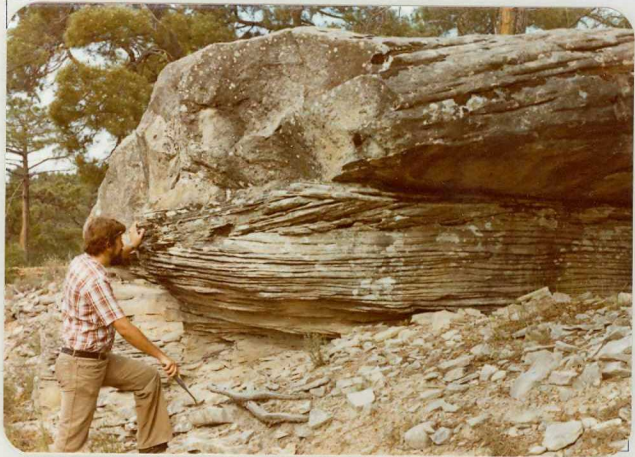
F.A. 186. Vista parcial de la formación T_{G1} con conglomerados y areniscas.



F.A.187. Vista general de la unidad cartográfica (T_{G1}) conglomerados, areniscas y arcillas rojas.



F.A. 188. Vista de detalle de la unidad cartográfica T^S_{G1}.



F.A. 189. Estratificación cruzada dentro de la unidad cartográfica T_{G1}^S .



F.A. 190. Vista general de la unidad cartográfica
T^S_{G1}.



F.A. 191. Vista general de la unidad cartográfica
 T_{G2}^S , dolomías.



F.A.192. Vista parcial de la unidad cartográfica
T_{G2} en la carretera de Riba de Saelices a Cirue-
los del Pinar.



F.A.193. Vista parcial de la unidad cartográfica
 T^m _{G2} dolomías, margas y calizas dolomíticas.



F.A. 194. Vista de detalle
de la unidad cartográfica
 T_{G2}^m .



F.A. 195. Vista general de las dolomías, margas y calizas dolomíticas (1) en contacto con la formación Keuper (2).



F.A. 196. Cantera abandonada de yesos de la formación Keuper (T_{G3}) en las proximidades de Ablanque.



F.A.197. Vista general de la formación (T_{G3}) en las proximidades de Saelices de la Sal.



F.A. 198. Vista general del transito Triásico-Jurásico.

1. Formación Keuper (T_{G3}).
 2. Tramo de transición.
 3. Dolomías tableadas de Imón.
 4. Tramo brechoide.
 5. Carniolas de Cortes de Tajuña.
- $T_{G3}-J_1$



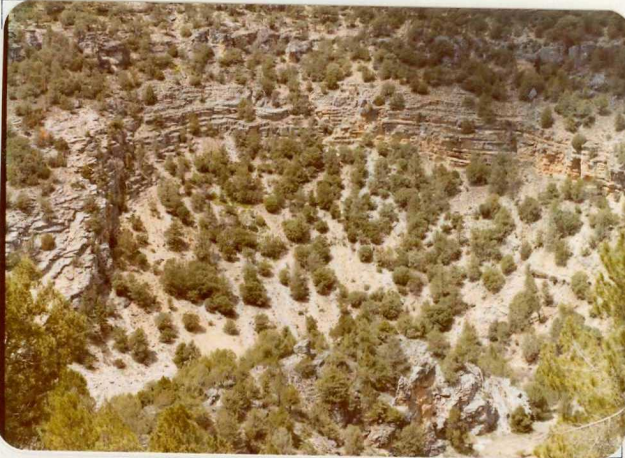
F.A.199. Vista general de la explotación de Sales en la formación (T_{G3}) en Saelices de la Sal.



F.A. 200. Vista general de la formación ($T_{G3}-J_1$).



F.A. 201. Vista parcial de la unidad cartográfica
 (J_{1-13}^{0-2}) . Calizas y dolomías tableadas.



F.A. 202. Vista parcial de un deslizamiento producido en la unidad cartográfica (J₁₋₁₃⁰⁻²)



F.A. 203. Vista general de la unidad cartográfica (J_{1-13}^{0-2}). Calizas y dolomías tableadas en los alrededores de Ribarredonda.



F.A. 204. Vista parcial de la unidad cartográfica (J_{13}^{2-3}). Calizas bioclásticas y margas grises a la base.



F.A. 205. Vista general de la unidad cartográfica
(J²⁻³) en las proximidades del río Ablanquejo.
13



F.A. 206. Vista parcial de la unidad cartográfica
(J³⁻³-13-14.) Alternancia de calizas y margas en las - proximidades de Huertahernando.



F.B 207. Vista de detalle de la unidad cartográfica (J_{13-14}^{3-3}) proxima a Huertahernando.



F.A. 208. Vista general de las unidades cartográficas. Alternancia de Calizas y margas J_{13-14}^{3-3} (2) y Calizas J_{14-22} (3). En primer termino (1) arenas en Facies Unillas (C_{16-21}^{0-1}).



F.A. 209. Vista parcial de una cantera abierta sobre materiales de la unidad cartográfica J₁₄₋₂₂ - en las proximidades de Olmeda de Cobeta.



F.A.210. Vista general de la unidad cartográfica
 J_{14-22} (2) concordante sobre la unidad J_{13-14}^{3-3} in-
frayacente (1).



F.A. 211. Vista de detalle de las calizas en "Facies Weald" de la unidad cartográfica C_{W-14}.



F.A. 212. Vista parcial de las calizas y arcillas en Facies Weald C_{W-14} en los alrededores de Espliegares.



F.A. 213. Detalle de la estratificación cruzada en las arenas en Facies Utrillas (C_{16-21}^{0-1}).



F.A. 214. Vista general del cretácico en Abánades.

1. Arenas en Facies Utrillas C_{16-21}^{0-1} .
2. Margas y calizas en fauna $\rightarrow C_{21}^{2-3}$
3. Dolomías, Dolomias margosas y calizas C_{21-22}^{3-2}
4. Calizas nodulosas con fauna. Margas a techo C_{22}^{2-3}



F.A. 215. Detalle de las margas de la unidad cartográfica C₂₁²⁻³ en los alrededores de Abánades.



F.A. 216. Vista parcial de las unidades cartográficas (1). Margas y calizas con fauna C_{21}^{2-3} y (2). - Dolomías, dolomías margosas y calizas. Conjunto - tableado C_{21-22}^{3-2} .



F.A. 217. Vista parcial de las dolomías, dolomías
margosas y calizas. Conjunto tableado C³⁻²
21-22.



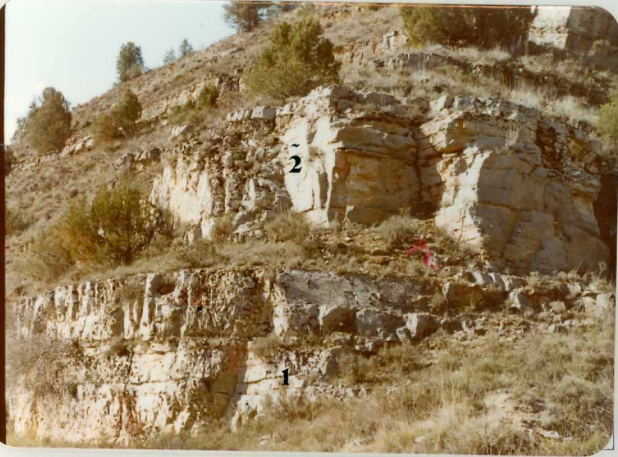
F.A 218. Detalle de las calizas nodulosas con fau
na de la unidad cartográfica C_{22}^{2-3} .



F.A. 219. Vista parcial de la unidad cartográfica
C²⁻³
C₂₂.



F.A. 220. Contacto entre las unidades cartográficas C_{21-22}^{3-2} (1) y la superior C_{22}^{2-3} (2).



F.A. 221. Contacto entre las unidades C_{22}^{2-3} (1) y - la superior dolomías y calizas dolomíticas C_{23-26} (2).



F.A. 222. Vista general de la unidad cartográfica
 (T^B_{C11}) en los alrededores de Abánades.



F.A. 223. Vista parcial del Mioceno conglomerárico
 (T_{C11}^B)



F.A. 224. Detalle de los conglomerados calcáreos y arcillas de la unidad cartográfica (T_{C11}^B)



F.A. 225. Vista parcial de la formación pliocuaternaria Raña (T_2^B).



F.A. 226. Vista parcial de la terraza baja ($Q_1 Tr$) en los alrededores de Ablanque.



F.A. 227. Vista parcial del relleno arcilloso con
cantos calcáreos de la formación Q₂ C.



F.A. 228. Vista parcial de un aluvial (Q_2 AL).



F.A. 229. Arcillas de relleno en zonas deprimidas (dolinas).



F.A. 230. Detalle de un derrubio de ladera (Q_2 L) en las cercanías de Ablanque.



F.A. 231. Vista parcial de un derrubio de ladera (Q_2 L) en las cercanías de Ablanque.



L.B. 1309. Panorámica de pizarras negras con intercalaciones de cuarcitas (O_3) al SE de Sta. Maria del Espino.



L.B. 1310. Panorámica de los materiales del Ordoví-
cico superior (O_3) sobre los que en discordancia,
se encuentran los sedimentos detríticos del Pérmico
(P₁₂).